### 川崎製鉄技報

#### KAWASAKI STEEL GIHO

Vol.15 (1983) No.1

ラジアントチューブ用低 NOx バーナの開発

Development of Low NOx Radiant Tube Burner

佐藤 邦昭(Kuniaki Sato) 武藤 振一郎(Shinichiro Muto) 栁島 章也(Fumiya Yanagishima) 下山 雄二(Yuji Shimoyama)

#### 要旨:

千葉製鉄所では、多目的焼鈍炉(KM-CAL)の建設に際して、新型のラジアントチューブ用低 NOx バーナーを開発し、現在、自社・他社の CAL・CGL 等多くの炉で実用に供されている。本バーナーは、中空のリング状に配置したマルチガスノズルから噴出する燃料ガスとその外周から噴出する外流エアーで1次燃焼を、ついで中心に配置した内流エアーで2次燃焼させることによりスムーズな2段燃焼を実現でき、以下に示す優れた特長を有している。(1) チューブ内で円周方向・長手方向の燃焼均一化に優れ、局所的な高温域の発生が防止でき、NOx 発生量の低減、ラジアントチューブ温度の均一化が得られた。特に、NOx 発生量については従来のバーナーより約 35%低減している。(2) 燃料ガスとエアーのスムーズな混合により、燃焼音が小さく、かつ、燃焼効率が向上している。(3) 外流エアーとガスの燃焼着火について、構造的に安定した着火源が形成するよう工夫され、低ターンダウン時でも安定した燃焼ができる。

# Synopsis:

Low NOx radiant tube burner has been developed for the multipurpose continuous annealing line (KM-CAL) at Chiba Works, Kawasaki Steel Corporation, and is now used at many furnaces such as CAL, CGL, etc. This burner consists of a two-stage combustion radiant tube in which combustion nozzles are arranged in a ring form. Primary combustion is initiated by the gas flow from encircling multi-nozzles and the outer air flow from the outermost nozzle and secondary combustion is effected by the inner air flow from the center nozzle. The above-mentioned smooth two-stage combustion ensures features described below. (1) Uniform combustion is achieved in both the circumferential and longitudinal directions within the tube and this contributes to low NOx and uniform temperatures of the tube. NOx emission is about 35% lower than that of conventional burners. (2) Smooth mixing between the gas and air is conducive to lower noise and higher combustion efficiency. (3) A device for igniting between outer-flow air and the gas provides a stable ignition source which accomplishes stable combustion even at low turn-down

本文は次のページから閲覧できます。

佐藤 邦昭\* 武藤 振一郎\*\* 柳島 章也\*\*\* 下山 雄二\*\*\*\*

# Development of Low NOx Radiant Tube Burner

Kuniaki Sato, Shinichiro Muto, Fumiya Yanagishima, Yuji Shimoyama

#### 音要

千葉製鉄所では、多日的焼鈍炉 (KM-CAL) の建設に際して、新型のラジアントチューブ用低 NOx パーナーを開発し、現在、自社・他社の CAL・CGL 等多くの炉で実用に供されている。

本バーナーは、中空のリング状に配置したマルチガスノ ズルから噴出する燃料ガスとその外周から噴出する外流エ アーで1次燃焼を、ついで中心に配置した内流エアーで2 次燃焼させることによりスムーズな2段燃焼を実現でき、 以下に示す優れた特徴を有している。

(1) チュープ内で円周方向・長手方向の燃焼均一化に優れ、 局所的な高温域の発生が防止でき、NOx 発生量の低域、ラ ジアントチューブ温度の均一化が得られた。

特に、NOx 発生量については従来パーナーより約35% 低減している。

- (2) 燃料ガスとエアーのスムーズな混合により、燃焼音が小さく、かつ、燃焼効率が向上している。
- (3) 外流エアーとガスの燃焼着火について、構造的に安定 した着火源が形成するよう工夫され、低ターンダウン時で も安定した燃焼ができる。

### 1. まえがき

従来、ラジアントチューブ用バーナーは、高 NOx、高騒音という公害上の欠点とラジアントチューブ内温度の不均一に起因したチューブの短寿命、被加熱物の不均一加熱等多くの問題点を有していた。特に、NOx に関しては、一般の工業炉と異なりラジアントチューブの場合、チューブ内の燃焼は狭い空間内で局所的な高温部が形成されやすく、一般の工業炉に適用される低 NOx 手段では、低 NOx 効果が小さく、バーナーによる低 NOx 化は未開発の状況にあった。

当所では、連続焼鈍設備 (KM-CAL) の建設に際して、上記問題点を解決する目的で、ラジアントチューブ用低 NOx バーナの開発に着手し、新型の低 NOx バーナの開発に成功した。本バーナは、現在 KM-CAL, No. 6 鉄粉仕上還元炉、川板 CGL 等多くの炉で実用に供している。以下に今回開発したラジアントチューブ用低 NOx バーナについて開発実験を主体に報告する。

# 2. 開発実験の概要

#### 2・1 バーナに要求される燃焼特性

ラジアントチューブバーナに要求される燃焼特性は、低 NOx

#### Synopsis:

Low NOx radiant tube burner has been developed for the multipurpose continuous annealing line (KM-CAL) at Chiba Works, Kawasaki Steel Corporation, and is now used at many furnaces such as CAL, CGL, etc. This burner consists of a two-stage combustion radiant tube in which combustion nozzles are arranged in a ring form. Primary combustion is initiated by the gas flow from encircling multi-nozzles and the outer air flow from the outermost nozzle and secondary combustion is effected by the inner air flow from the center nozzle

The above-mentioned smooth two-stage combustion ensures features described below.

- (1) Uniform combustion is achieved in both the circumferential and longitudinal directions within the tube and this contributes to low NOx and uniform temperatures of the tube. NOx emission is about 35% lower than that of conventional burners.
- (2) Smooth mixing between the gas and air is conducive to lower noise and higher combustion efficiency.
- (3) A device for igniting between outer-flow air and the gas provides a stable ignition source which accomplishes stable combustion even at low turn-down.

の他に以下に示す諸特性がある。本開発実験ではこれらに関する改善も考慮した。

- (1) 低  $O_2$ 燃焼性に優れ、低ターンダウン時でも良好な燃焼を維持できること。 すなわち残存  $O_2 = 1.0\%$ でチューブ内で完全燃焼し、低ターンダウン時でも失火しないこと。ちなみに、従来バーナの場合、20%以下のターンダウン時では失火の危険が高く使用していない(この場合は、燃焼の投入を on-off して使用している)。
- (2) 熱効率面で有利となるよう排ガス温度が低下できること。
- (3) ラジアントチューブの温度分布が均一であること。これは 局所的な高温部発生を防止し、チューブ寿命を長くでき、か つ、被加熱物の均一加熱に有利である。
- (4) 燃焼騒音が小さいこと。これについては、メインバーナの他に、パイロットバーナについても考慮する必要がある。

### 2・2 実験設備と実験方法

本開発実験は、燃焼実験炉と実炉 (No.1 CAL) で行った。 実験炉では、バーナによる NOx 生成比較を主体とし、実炉で は、実験炉で良好な結果が得られたバーナを1本のラジアント チューブに設置して従来バーナとの比較を実施した。

実験炉は、Fig. 1 に示すように、W 型ラジアントチューブの外部をレンガ積みしたものである。ラジアントチューブの燃焼

\*\*\*\* - 上集製鉄所冷間圧釶部冷処技術至于 〔昭和57年10月6日原稿受付〕

- 千葉製鉄所エネルギー部エネルギー技術室
- \*\*\*\* 千葉製鉄所冷問圧延部第一冷間圧延課掛長

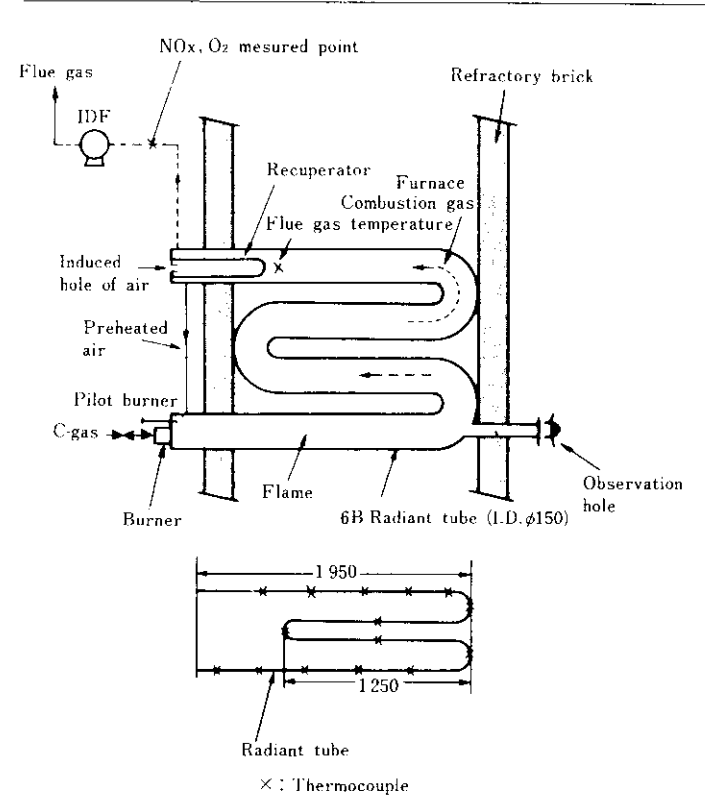


Fig. 1 Schematic diagram of experiment at furnace

は、排ガス吸引プロワーでパーナ部に燃焼用エアーを吸引して コークス炉ガス(C ガス)を燃焼させるサクションタイプである。

本実験では、バーナの燃焼特性を把握するために、 $O_2$ 濃度、NOx 濃度、 $ラジアントチューフ温度(<math>T_{R+1}$ )分布、排ガス温度 および予熱エアー温度( $T_A$ )等を連続測定している。騒音については、実験炉周辺の騒音の影響を受けるので、実炉にて測定を行った。実験条件は、以下に示すとおりである。

燃燒容量:100×103kcal/h

燃料ガス:C ガス (発熱量4 300kcal/Nm³)

過剰 O2:2.0~2.5%

予熱エアー温度: T<sub>A</sub>≒300~350℃

パイロットパーナ:内部点火式10×103kcal/h(従来のバー

ナは,外部点火式で騒音と熱ロスが大 きいので,パイロットバーナを内部点

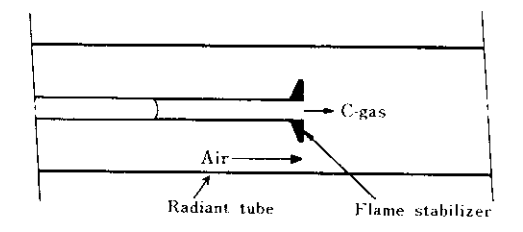
火方式に変更した)

### 3. 従来バーナの構造と NOx 生成

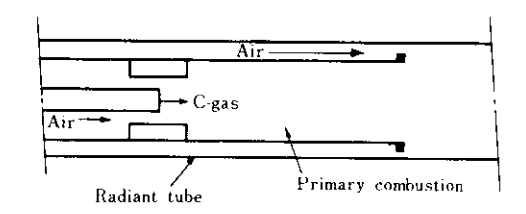
従来、一般に数多く使用されているバーナ(No.1 CAL 等で使用)と低 NOx を指向した 2 段燃焼バーナの概略および実験炉における NOx 生成の結果を Fig. 2に示す。Fig. 2(a)は単孔ガスノズルを中心に配置したもので、その先端に着火安定用保炎フランジを有している。このバーナの燃焼は、緩慢燃焼型で従来バーナとしては低 NOx型式に属することを別の実験で確認した。

一方,低 NOx 指向の2段燃焼パーナは,一般の工業炉に適用されている緩慢燃焼による低 NOx をラジアントチューブ内部で実現させようとするものである。

Fig. 2 には、NOx 濃度、子熱エアー温度  $T_{A}$ とラジアントチュ



#### (a) Design of conventional burner



(b) Design of conventional two-stage combustion burner

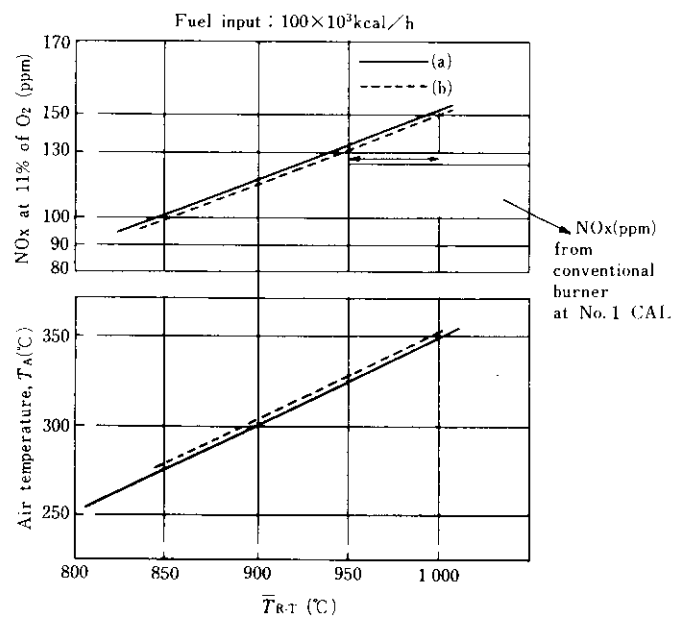


Fig. 2 Design and NOx emission of conventional burner

ープの平均温度  $T_{R-T}$ の関係を示し、同時に、No.1 CAL の実炉データも示してある。破線で示す NOx 生成量は、2 段燃焼バーナの構成要素(1次エアー量比・1次燃焼筒長さ等)を変更したときの最良の結果である。

実験炉における実験は、点火後ラジアントチューブおよび予熱エアーの温度が上昇し、同時に NOx 生成も経時的に増加するので、ラジアントチューブ温度の平均値で整理した。本実験は、点火後約3 h で定常に達し、 $\overline{T}_{R-T}=1000^{\circ}$ C で安定となる。従来バーナの実炉における NOx 生成は、 $130\sim150$ ppm(ターンダウンが $80\sim90\%$ で  $T_{A}=300\sim330^{\circ}$ C のときのレベル)であり、この値に対応する実験炉条件は、 $\overline{T}_{R-T}=950\sim1000^{\circ}$ C、 $T_{A}=325\sim350^{\circ}$ C である。この条件を以降のバーナ実験の基準とした。

Fig. 2 の結果から、従来型の 2 段燃焼パーナでは、NOx 低減の効果がみられず、一般の工業炉つまりオープンスペースで形成される NOx 発生量の低い状態での 2 段燃焼が、ラジアントチュープ内で起こりにくいことを示している。

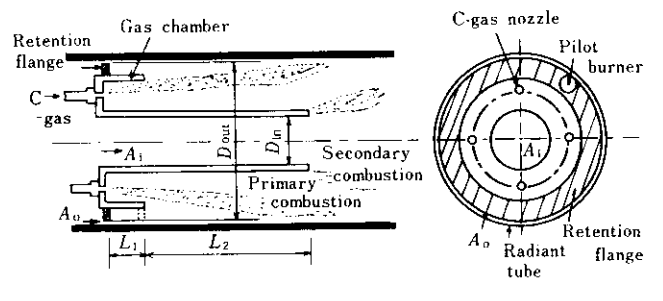
# 4. 開発したバーナの構造

ラジアントチューブ用として、今回開発した低 NOx バーナ の構造を Fig. 3 に示す。本バーナは、従来バーナの燃焼結果を踏まえ、ラジアントチューブ内部の燃焼均一化を図るよう考慮したものである。

本バーナは、燃焼用エアーを2分割して、中心と最外流に供給し、チューブ内部で燃料ガスと外流エアー(以後 A。と略記)で、1次燃焼を、ついで中心に配置した内流エアー(以後 A、と略記)により2次燃焼を行わせることによって、チューブ内部でのスムーズな2段燃焼を図ったものである。同時に、バーナノズル部分の構造を工夫し、2章で述べた種々の燃焼特性の改善を図っている。

本バーナの構成要素は、Fig. 3 に示すとおりであり、実験はこれらの要素を種々変更し、NOx 生成と燃焼特性との関係を実験炉で把握したものである。

なお、本バーナは、当所が先に開発した加熱炉・均熱炉用 KS  $(x-t)^{1/2}$ の基本的な技術思想を発展させたものであり、KS-2 バーナと命名した。



Burner factor

Inner air flow:  $A_1$  Outer air flow:  $A_0$  Inner pipe dia.:  $D_{\rm In}$  Retention flange dia.:  $D_{\rm out}$  Number of gas nozzle holes: N Gas nozzle dia.:  $D_G$  Gas velocity at outlet of nozzle:  $V_G$  Length between retention flange and tip of gas chamber:  $L_1$  Gas chamber dia.:  $D_G$  Inner pipe length:  $L_2$ 

Fig. 3 Design and factor of KS-2 burner

# 5. バーナ構成要素と NOx 生成

KS-2 パーナの各構成要素変更実験では、Fig. 2 に示す NOx と温度の関係でデータを採取したが、パーナ構成要素の影響を整理するために、 $T_A=300$  $^{\circ}$  における NOx 値比較を行った。

#### 5・1 内流エアー比率の影響

 $A_i$ 比率  $(A_i$ 流量/全流量)は、内・外流エアーの面積比で決まるが、本実験では、内筒径  $D_{\rm in}$ とリテンションフランジ径  $D_{\rm out}$ を変化させ、 $A_i$ 比率を変更した。このときの NOx生成と Fig. 1 に示すのぞき窓における火炎の日視観察結果を Fig. 4 に示す。

 $A_i$ 比率の NOx 生成におよぼす影響は顕著で、 $A_i$ 比率=  $35\sim80\%$ で低 NOx が得られ、 $A_i$ 比率 $\leq30\%$ では、 $A_i$ 比率の減少

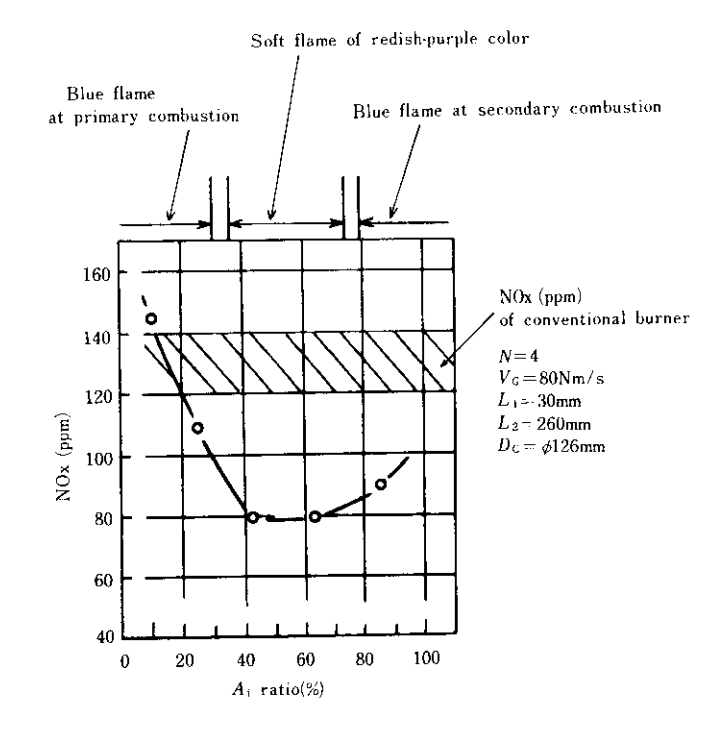


Fig. 4 Influence of A; ratio NOx emission

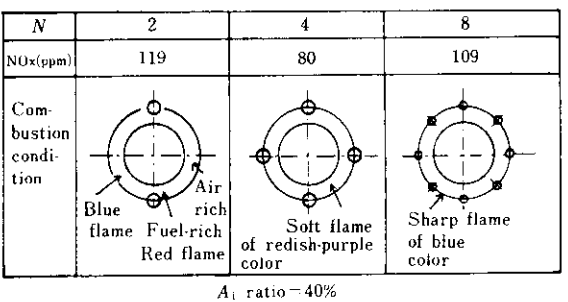
にともない著しく NOx が増加する。A<sub>i</sub>比率の変化に NOx 生成と燃焼性はよい対応を示し、低 NOx の A<sub>i</sub>域では、全体がソフトな赤紫色火炎となりスムーズな2段燃焼の形態をなしている。それ以外の A<sub>i</sub>比率では、1次燃焼もしくは2次燃焼がシャープな紫色火炎(ブルー炎)を形成している。

# 5・2 ガスノズル孔数の影響

以上のデータは、ガスノズル4孔であり、円周方向で比較的 均一な燃焼火炎が形成されていたが、円周方向での燃焼変化を みるために、ガスノズル孔数を変化させ実験を行った。その結 果を Fig. 5 に示す。

ガスノズル孔数の変化に対する NOx 変化も大きく、上述した4孔ノズルに対し、2孔ノズルでは1次燃焼域にエアーリッチなブルー炎とガスリッチな赤色炎が混在しており、高 NOx となっている。一方、8孔ノズルでは、1次燃焼域がシャープなブルー炎となり、高 NOx となっている。

前者は、円周方向でのガスとエアーの混合不均一によるエア



 $V_G = 80 \text{Nm/s}$   $L_1 = 0 \text{mm}$   $L_2 = 300 \text{mm}$  $D_C = \phi 126$ 

Fig. 5 Comparison of NOx emission by the change of number of gas nozzle holes

ーリッチ側での高 NOx, 後者は、ガスとエアーの初期混合面積の増加による急速燃焼での高 NOx と考えられる。特に、円周方向での混合不均一については、バーナを取り付け時に偏心させると、高 NOx となることが確認されている。

以上の結果をもとに、以降のバーナは4孔ガスノズルとした。

### 5・3 ガス流速の影響

中央にガスノズル、外周にエアーノズルを配する一般のバーナでは、ガスとエアーの運動量比、 $M_{\rm G}/M_{\rm A}$ の増減と燃焼性はよい対応を示し、 $M_{\rm G}/M_{\rm A}$ の減少につれて急速燃焼 (シャープな燃焼) となる $^{3}$ 。

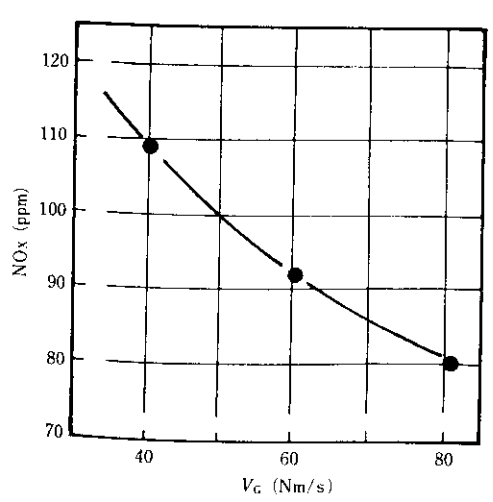
燃焼性を変化する目的で、ガスの噴出速度  $V_c$ を変化させて NOx 生成を調査した。その結果を Fig.6 に示す。本実験でも、上述のように、 $V_c$ の増大にともない、ソフトな燃焼火炎となり、低 NOx となる。一般に、 $M_c/M_A$ の影響は、 $M_c/M_A \leq 0.2 \sim 0.3$ では、エア一流が支配のシャープな燃焼となるが、 $M_c/M_A$ の増加により火炎長は飽和の傾向にあるので、 $V_c$ をさらに増大しても、NOx は大幅に低減しないと考えられる。

また、C ガスの供給圧力の制限等を考慮して、 $V_{\rm G}$ を上げずに、エアーノズルからの噴出速度を下げて、 $M_{\rm G}/M_{\rm A}$ を増加することも、当然低 NOx に有利であると考え、リテンションフランジをエアー上流側に取りつけて、 $A_{\rm o}$ ノズルからの実質的なエアー流速を減少させて、その影響を調査した。その結果を次に述べる。

# 5・4 リテンションフランジ位置の影響

リテンションフランジを  $L_1$  = 30mm の位置に取りつけて、 $V_c$  = 60、80Nm/s で実験し、他のバーナ条件は Fig. 6 と同一にした。このとき、 $L_1$ とフランジ部隊間 ( $A_s$  / ズル部の隊間) の比は 6 で、ほぼ整流されていると考えられる。

実験の結果は、Table 1 に示すように、 $V_{\rm G}=60{\rm Nm/s}$  でも低  ${\rm NOx}$  となっており、 ${\rm Fig.}\,6$  における  $V_{\rm G}=80{\rm Nm/s}$  との差がない。ここに、 $A_{\rm o}$ /ズルで  $A_{\rm o}$ が整流されるとすると実  $A_{\rm o}$ 流速は、 $3.7{\rm Nm/s}$  となる。



 $\begin{array}{lll} L_1 = 0 \mathrm{mm} & \mathrm{D_{C}} = \phi 126 \\ A_1 & \mathrm{ratio} = 40\% & \mathrm{L_2} = 300 \mathrm{mm} \\ \mathrm{Velocity} & \mathrm{at} & \mathrm{outlet} \\ \mathrm{of} & \mathrm{Ao} & \mathrm{nozzle}, & V_{\mathrm{Ao}} = 9.4 \mathrm{Nm/s} \end{array}$ 

 $V_G M_G/M_{Ao} (at T_A = 300 ^{\circ})$ 40 0.27

60 0.40 80 0.53

Fig. 6 Influence of gas velocity on NOx emission

Table 1 NOx emission

V <sub>G</sub> (Nm/s)	NOx(ppm)	$M_{\rm G}/M_{\rm Ao}$
60	76~77	1.02
80	79-80	1.37

以上の  $V_c$ と  $L_t$ 変更の結果から、ラジアントチューブの長手方向での均一燃焼を図るには、1次燃焼の緩慢化が重要であると考え、燃焼要因を  $M_c/M_{Ao}$ で整理した。Fig. 7 に NOx と  $M_c/M_{Ao}$ の関係を示す。

Fig. 7 は、 $A_o$ ノズル先端部で完全に整流されているとした場合であるが、ガス流支配となる  $M_G/M_{Ao} \ge 0.5$ では、NOx はほぼ飽和に達している。一方、 $M_G/M_{Ao} \le 0.4$ では、1次燃焼がシャープなブルー炎となり、その減少にともない高 NOx となっている。

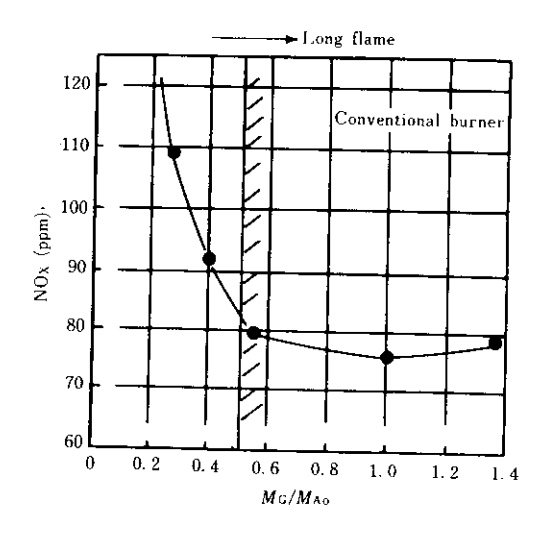


Fig. 7 Influence of momentum ratio between gas and air or  $NO_X$  emission

## 5.5 ガスチャンバー径の影響

Fig. 3 において、 $L_1$ 部分における  $A_o$ の整流は、 $L_1$ 長さとガスチャンバー径  $D_c$ の大きさにより異なると考え  $D_c$ の影響を調査した( $L_1$ については、実験バーナの制約で固定した)。

 $D_c$ の影響については、内筒長さ  $L_a$ の短いバーナを用いて調査したので NOx レベルは高い状態にある。バーナ条件と NOx 生成の関係について Fig. 8 に示す( $L_a$ の影響は後述する)。

 $L_1$ =30mm の条件で, $D_c$ < $\phi$ 120では  $L_i$ 部分での整流効果がなく,NOx は増加する。Fig. 9 に  $A_o$ と C ガスの噴流線模式図を示したが,両者の噴出角は片側11°としている。 $D_c$ = $\phi$ 126では, $A_o$ ノズル先端が流線にぎりぎり触れる程度であるが,外間がラジアントチューブで拡がりがなく,チャンバー出口で燃焼による膨張があるので,上記数値より噴出角は大きくなっていると考えられる。

 $D_c = \phi 114$ では、外流エアーが噴流に影響を与えず、逆に外流エアーとガスの混合位置が手前に移行し、 1 次燃焼が促進されているといえる。

### 5・6 内筒長さの影響

KS-2 バーナの性能を決定する要因として、1 次燃焼ゾーン

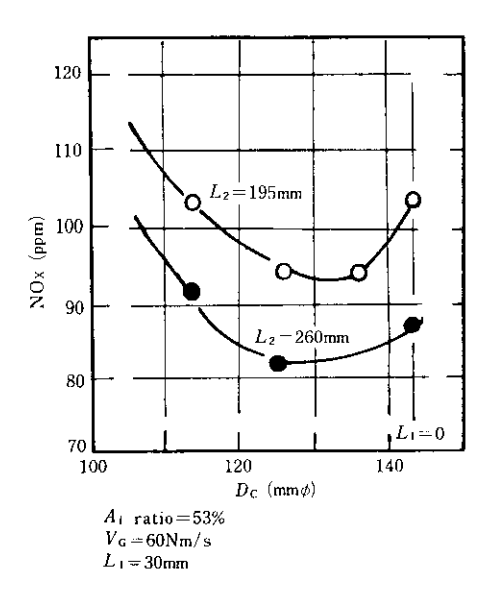


Fig. 8 Influence of gas chamber diameter on NOx emission

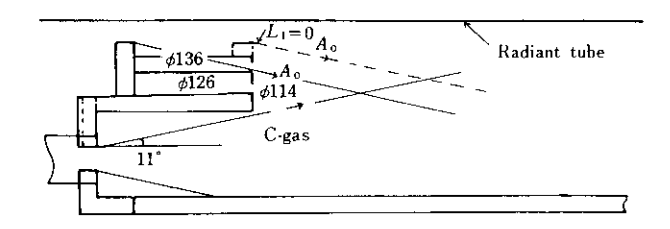


Fig. 9 Flow model of gas and outer air by the change of gas chamber diameter of KS-2 burner

長さつまりLが重要である。この影響を調査した結果をFig.10 に示す。

 $L_2 \le 200$ mm では、 $L_2$ の減少にともない NOx が増加し、 $L_2 > 250$ mm で飽和の傾向にある。

特に、内筒については、寿命の関係でできるだけ短いほうが好ましい。 L<sub>2</sub>=300mm にて内筒先端温度を測定したところ約1 000~1 050℃程度であり、内筒およびノズル部材質は SUS310S

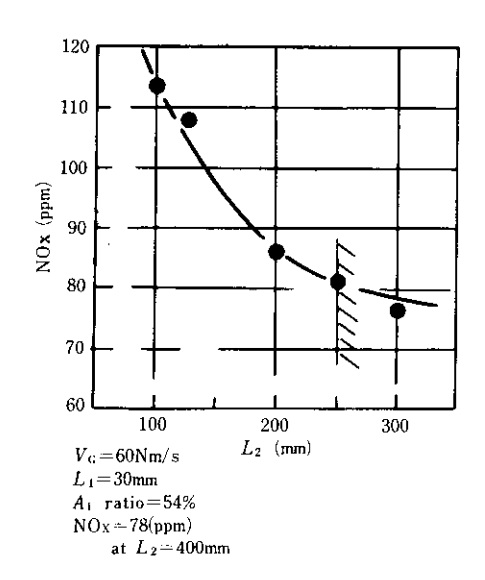


Fig. 10 Influence of inner pipe length on NOx emission

とした。なお、高温部は先端50mm 程度であった。

### 5・7 KS-2 バーナの低 NOx 条件と実炉への適用

KS-2 バーナの主要なバーナ各部要素の NOx 生成に対する 影響を述べてきたが、**Table 2** に本バーナの低 NOx 条件と実 炉への適用例(KM-CAL)を示し、**Fig. 11** にバーナ構造の概要 を示す。

実炉へ適用したパーナについて実験炉と実炉での、NOx生成状況を従来パーナと比較して、Fig. 12、Fig. 13に示す。実験炉・実炉ともほぼ類似の傾向にあり従来パーナに比べて約35%の大幅な低減率を得ている。

この結果は、KS-2 バーナが Table 2 に示す基本仕様を設定することにより、ラジアントチューブ内で、ソフトかつスムーズな2 段燃焼を可能としたことを示している。

これまで、NOx 生成を主体とした実験について述べたが、次に NOx 以外の諸燃焼特性を調査した結果について述べる。

### 6. KS-2 バーナの諸特性

#### 6・1 ラジアントチューブの温度分布

パーナを実炉に適用したときのラジアントチューブの温度分布を Fig. 14 に示す。従来パーナが、ラジアントチューブの1 m の距離で高温ピークを示し、その部分から急激な燃焼が開始しているのに対して、KS-2 パーナでは全体的に均一な分布を示し、スムーズな2 段燃焼がなされていることがわかる。その結果、ラジアントチューブ各部における燃焼温度の平担化となって表われている。

### 6.2 燃烧効率

ラジアントチューブ用バーナの燃焼効率は、排ガス温度により決まるものである。本実験では一定の燃焼を投入し*T*<sub>RT</sub>≒

Table 2 Low NOx conditions of KS-2 burner at experimental furnace and KM-CAL(6B R·Tube)

Burner factor	Experimental furnace	KM-CAL
Ai ratio(%)	40~80	60
N	4	4
L <sub>1</sub> -D <sub>c</sub>	30mm- <i>ф</i> 120 ≦	30mm φ120
$M_{\rm G}/M_{\rm Ao}$	0.5≦	I.2
		$V_{\rm G}=60{ m Nm/s}$
$L_2$	250≦	260mm

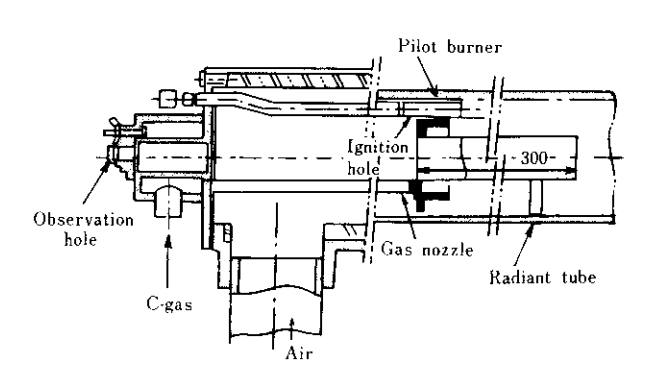


Fig. 11 Design of KS-2 burner applied at KM-CAL

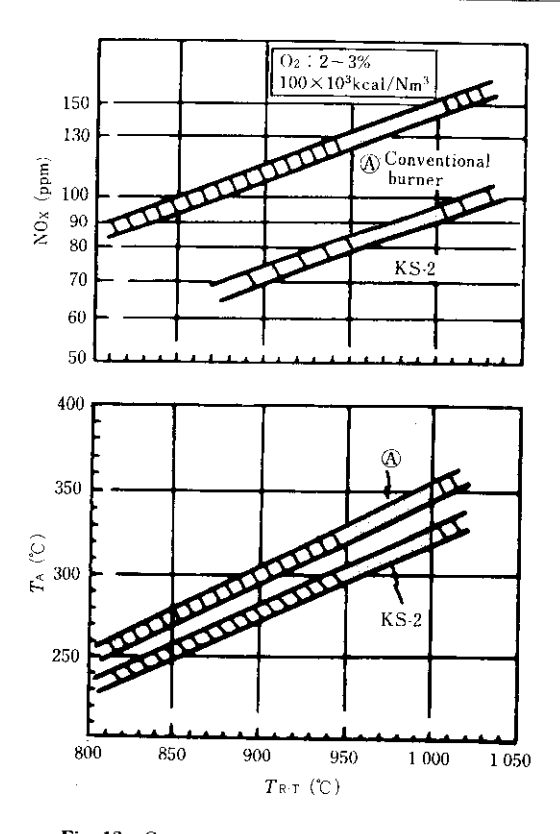


Fig. 12 Comparison of NOx emission between conventional burner and KS-2 burner at experimental furnace

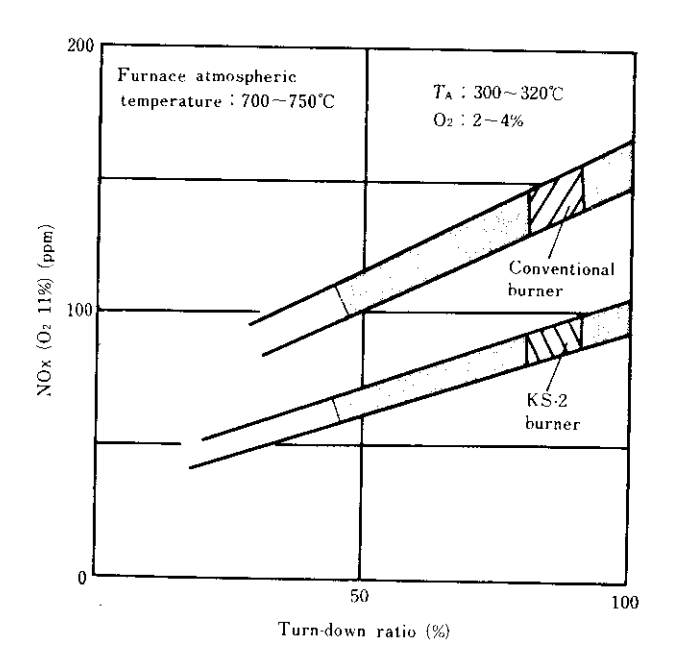


Fig. 13 Comparison of NOx emission between conventional burner and KS-2 burner at actual furnace

1000℃の定常状態に達した後、従来バーナと KS-2 バーナを比較したもので Table 3 に示すように KS バーナは排ガス温度および予熱エアー温度でそれぞれ約50℃、25℃低温で、安定した。この結果は、KS-2 バーナの燃焼効率がよいことを示しており、この燃焼効率向上は、約2.5%の燃料原単位低減に寄与している。以上のラジアントチューブ温度分布と燃焼効率の改善は、低 NOx 性を重視したバーナでの結果であるが、低 NOx 性を必

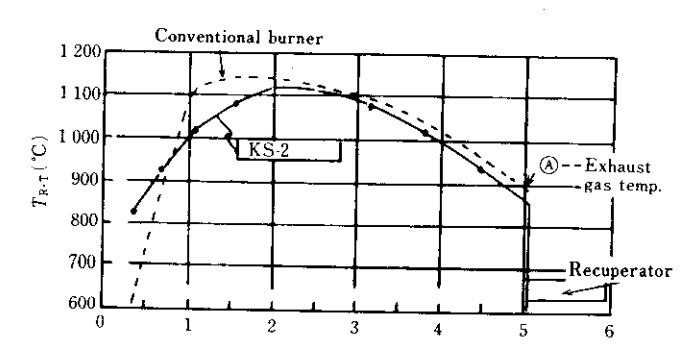


Fig. 14 Temperature distribution of radiant tube

Table 3 Comparison of furnace efficiency between conventional and KS-2 burner (at excess O<sub>2</sub> of 2%)

<del></del>		Conventional burner	KS burner
Exhaust gas temp. Tg	°C	870	820
$Q_{g}$	kcal/C Nm <sub>3</sub>	1 730	1 620
Preheated air temp. TA	c	350	325
Preheated air sensible heat Qa kcal/C · Nm3		482	458
Recovery efficiency of recuperator $\mu = Q_A/Q_B$		0.279=0.283 about 0.28	
Furnace efficiency α		0.712	0.729
Decrease rate of fuel consumption		1 -	0.974

$$Q_{c} = \frac{4300}{4300 - (1 - \mu)Q_{s}} (Q_{s} + Q_{L})$$

 $Q_c$ : Fuel consumption (kcal/t)

4 300: Heating valve of C-gas (kcal/C-Nm³)

 $Q_{8}$  : Exhaust gas sensible heat from  $T_{8}$  and  $O_{2}\,(\%)\,(kcal/C\cdot Nm^{3})$ 

$$\alpha = \frac{4300 - (1 - 0.28)}{4300} \frac{Q_s}{}$$

 $Q_S$ : Strip sensible heat (kcal/t)

QL: Heat loss (kcal/t)

要としない場合は、パーナの各部要素を適切に設定することに より、排ガス温度をかなり低くすることができることがわかっ ている。

# 6・3 着火性および騒音

KS-2パーナの着火域は、Fig.3に示すガスチャンパ内部に生じる、Cガスと A。の安定した循環部分に形成されている。また、エアーを 2 分割にすることによって、エアー過剰による吹き消えが容易に防止でき、低ターンダウン時にも安定した着火性を維持することができている。実炉においては、低ターンダウン時のガスのカットは従来パーナでは20%であったが、KS-2パーナでは10%まで下げて使用でき、パーナは連続燃焼で操業できるようになった。

一方,騒音に関しては、上記の着火安定性向上、チュープ内でのスムーズな2段燃焼と Fig. 11 に示す内部パイロットバーナの採用により、以下に示すように大幅な騒音の減少となっている。

従来バーナ:90db 以上

KS-2 バーナ:75db 以下 (暗騒音レベル)

以上の KS-2 バーナは、KM-CAL 用の6B ラジアントチューブに適用したものであるが、その後、5B~7B ラジアントチューブに適用する技術も確立している。 KS-2 バーナは、現在、当社や他社の CAL、CGL、鉄粉仕上炉等広範囲に適用されている。

# 1. あとがき

KM-CALの建設時に開発したラジアントチュープ用 KS-2 バーナは、ラジアントチューブの狭い空間で、スムーズな 2 段 燃焼を実現できる特徴を有し、低 NOx と省エネルギーを同時 に達成できるバーナである。

実好での NOx 低減効果は、ほぼ35%であるが、それ以外に低ターンダウン時の燃焼安定性に優れているとともに、 ラジアントチューブ用バーナに特有の騒音問題も解消される利点があり、 現在数多くのがで使用されている。

#### 参考文献

佐藤ら:川崎製鉄技報, 10 (1978) 2・3, 83
 下向ら:川崎製鉄技報, 13 (1981) 3, 154

3) 辻正一:燃焼機器工学,日刊工業版(1971), 61~97